

#### Bibliografia:

S.T. Smith e D.G. Chetwynd. Foundations of Ultraprecision Mechanism Design. p. cm. Developments in Nanotechnology, Series Editor: D. Keith Bowen, University of Warwick, UK, Volume 2. Gordon and Breach Science Publishers, 1992. ISBN 2-88124-840-3

Alexander H. Slocum. *Precision Machine Design*. Prentice Hall. New Jersey. 1992. ISBN 0-13-690918-3

### SUMÁRIO

#### Parte I FUNDAMENTOS DA ENGENHARIA DE PRECISÃO

- 1 A escala da ultra-precisão
- 2 Conceitos gerais
  - 2.1 Termos de instrumentação
  - 2.2 Erros e Combinação de erros
- 3 Conceitos fundamentais em projeto de precisão
  - 3.1 Terminologia
  - 3.2 Princípios e "patterns"
    - 3.1.1 Apoios cinemáticos
    - 3.1.2 Drives cinemáticos
    - 3.1.3 Montagem semi-cinemática ou projeto elástico
    - 3.1.4 Laço Estrutural e Estrutura Metrológica
    - 3.1.5 Princípios de alinhamento (erros de cosseno e erros de Abbe)
    - 3.1.6 "Nulling", Compensação e Compensação de erros sistemáticos
    - 3.1.7 Simetria
    - 3.1.8 Isolamento
    - 3.1.9 "Error Budgeting"
    - 3.1.10 Resolução e Repetibilidade
- 4 Materiais para projeto de máquinas de precisão

### SUMÁRIO

#### Parte II MECANISMOS DE ULTRA-PRECISÃO

- 1 Projeto de "flexures" (guias de flexão)
  - 1.1 Monolítico
  - 1.2 Molas planas
- 2 Acoplamentos cinemáticos
- 3 "Drives" de precisão

### SUMÁRIO

#### Parte III GUIAS PARA MÁQUINAS DE PRECISÃO

- 1 Guias hidrostáticas
- 2 Guias aerostáticas
- 3 Guias de lubrificante sólido
- 4 Guias com lubrificação limite
- 5 Guias com lubrificação polimérica





# Parte | FUNDAMENTOS 1 A escala da ultra-precisão

- 1.1 Introdução
- 1.2 Aplicações
- 1.3 Metrologia

### 1.1 INTRODUÇÃO

#### The Scale of Things - Nanometers and More

#### **Things Natural**



**Dust mite** 200 µm



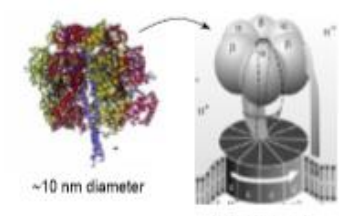
~ 60-120 µm wide

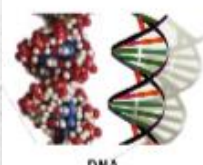




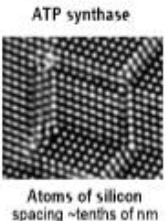
~ 5 mm







~2-1/2 nm diameter



1,000,000 nanometers = 1 millimeter (mm) 0.1 mm 10-4 m 100 µm Microworld 0.01 mm 10 µm 1,000 nanometers = 1 micrometer (µm) 0.1 µm 100 nm Nanoworld 0.01 µm 10 nm 1 nanometer (nm)

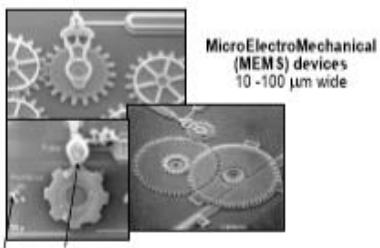
10-2 m

10 mm

#### Things Manmade



Head of a pin



Pollen grain Red blood cells

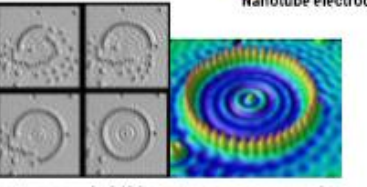




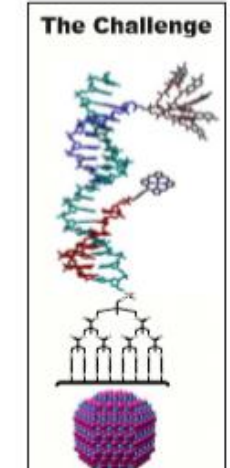
Self-assembled, Nature-inspired structure Many 10s of nm



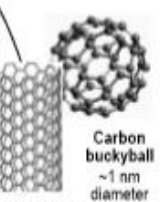
Nanotube electrode



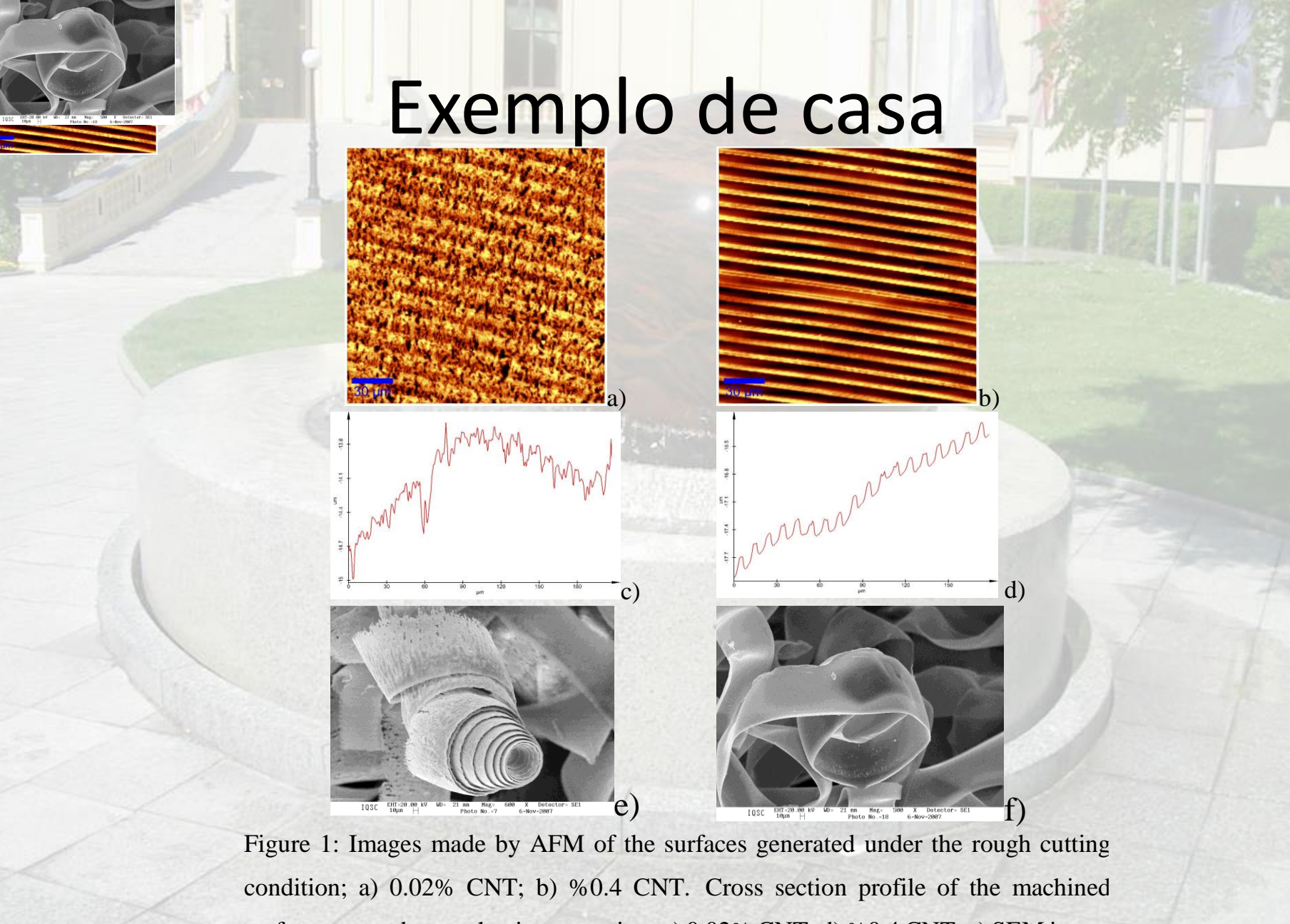
Quantum corral of 48 iron atoms on copper surface positioned one at a time with an STM tip Corral diameter 14 nm



Fabricate and combine nanoscale building blocks to make useful devices, e.g., a photosynthetic reaction center with integral semiconductor storage.

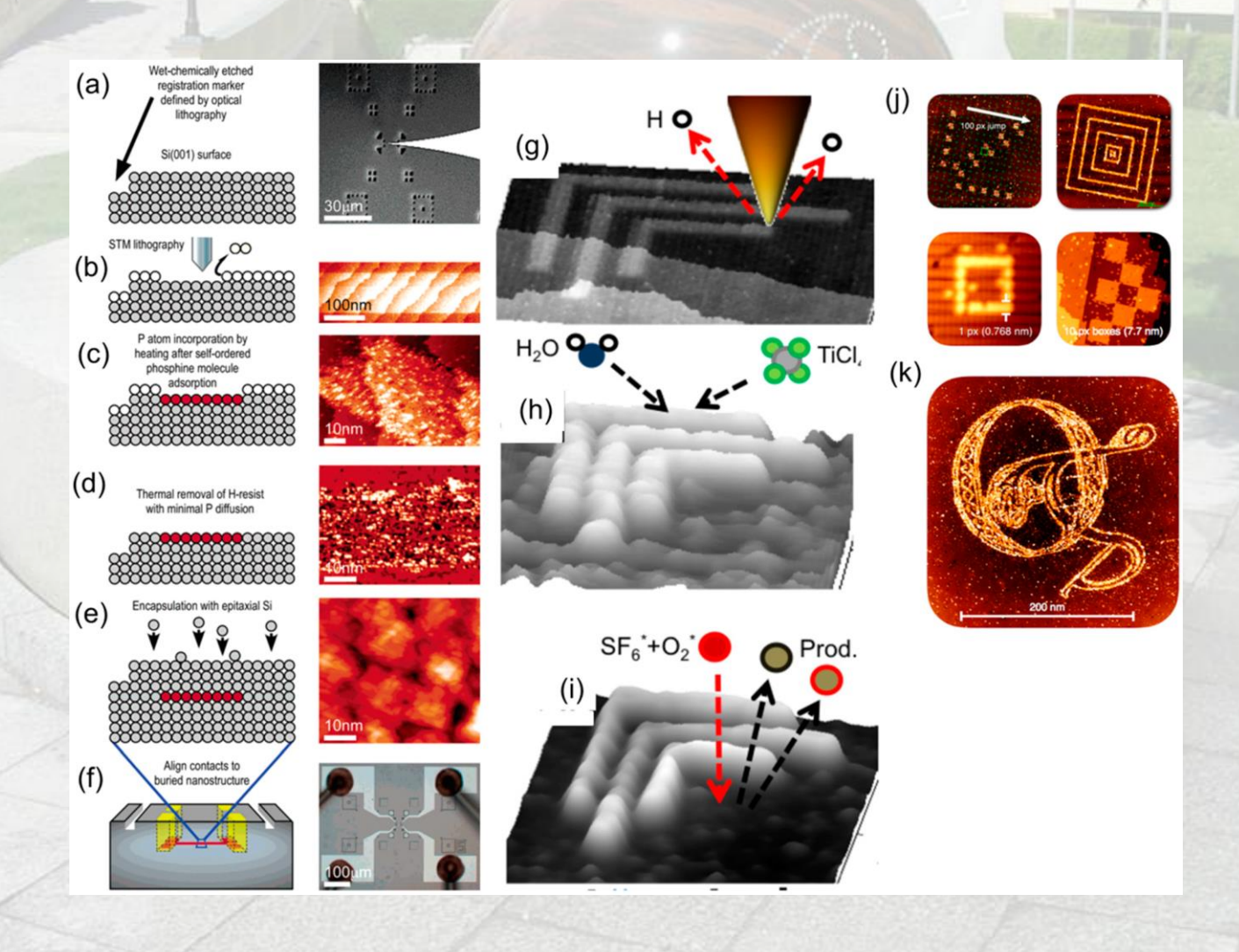


Carbon nanotube ~1.3 nm diameter

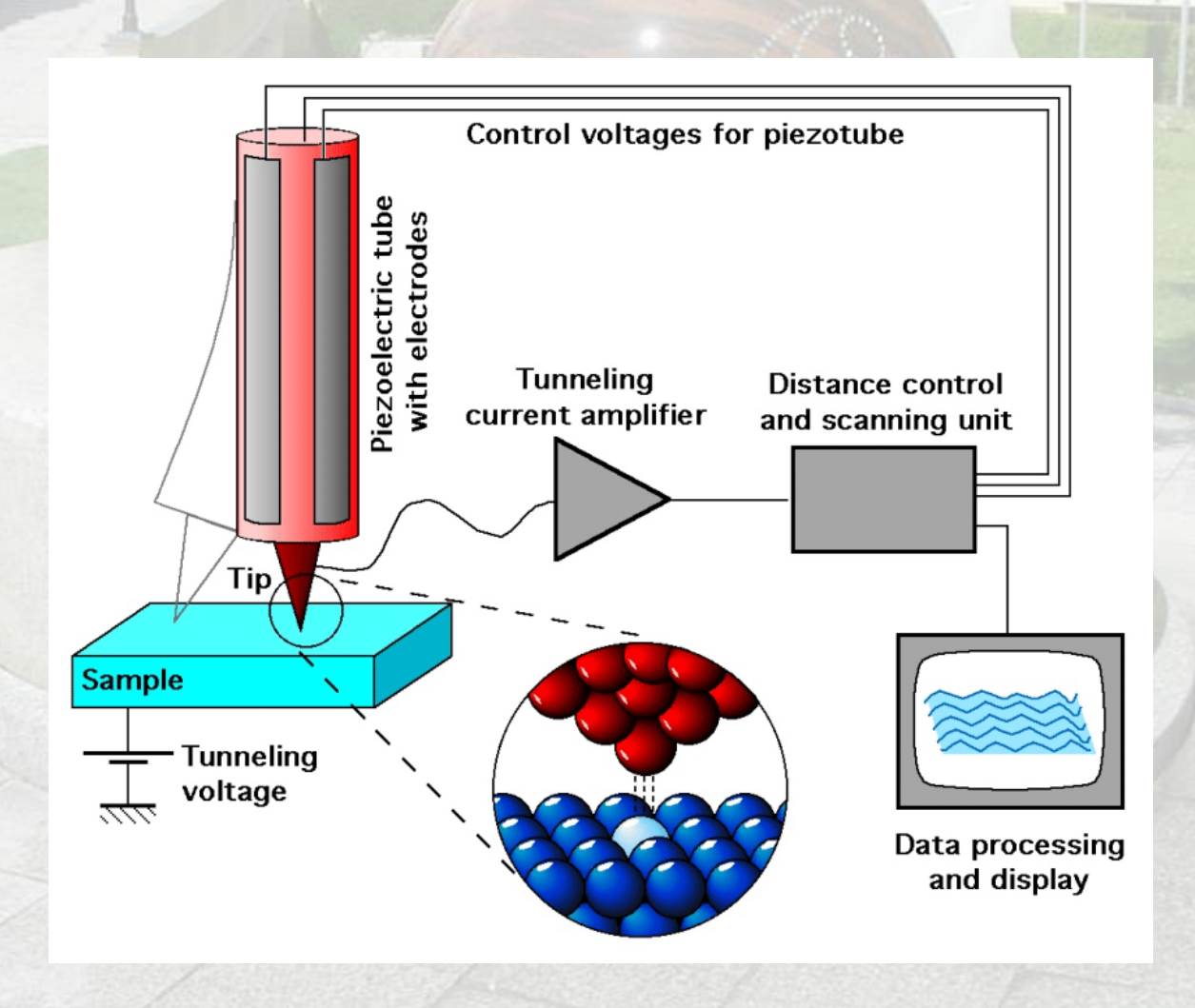


surfaces cut under roughening operation; c) 0.02% CNT; d) %0.4 CNT, e) SEM image of the chips 0.02% CNT; f) SEM image of the chips %0.4 CNT.

### Fabricação através de STM



### STM – esquema



### 1.1 INTRODUÇÃO

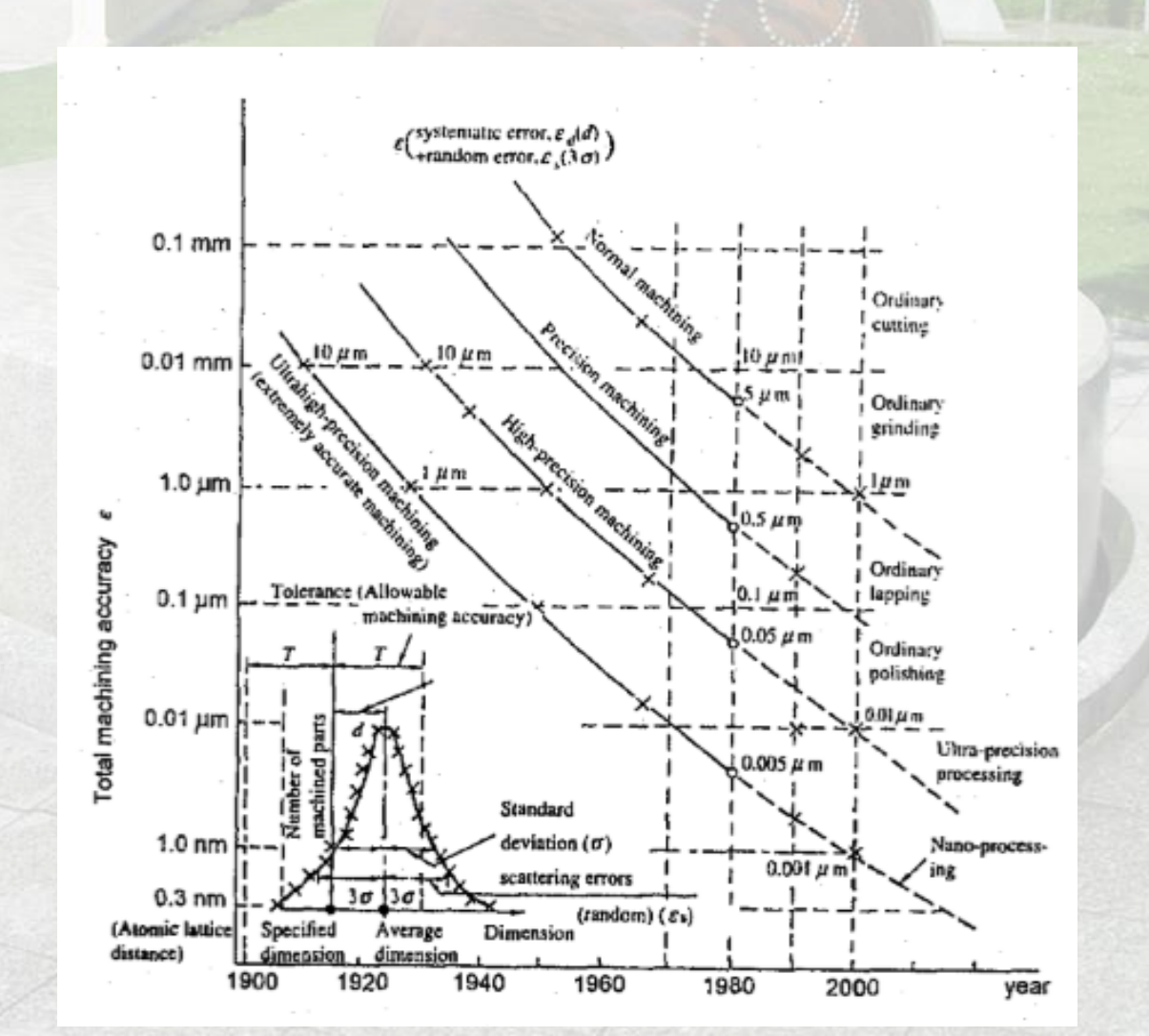
"Precisão e Ultraprecisão não são definições fixas; Evoluem e, portanto, mudam com o progresso e tempo. Enquanto em 1940 uma mandriladora com repetibilidade de 1 micrometro era julgada como sendo representativa da mais alta precisão, hoje, meio século depois, a exatidão dimensional aumentou de uma ordem de magnitude."





ULTRAPRECISÃO INCLUI DIMENSÕES DA ORDEM DE 1 µm E TOLERÂNCIAS DA ORDEM DE 1 NANÔMETRO

# Tanigushi, 1974 Tendências em usinagem de precisão

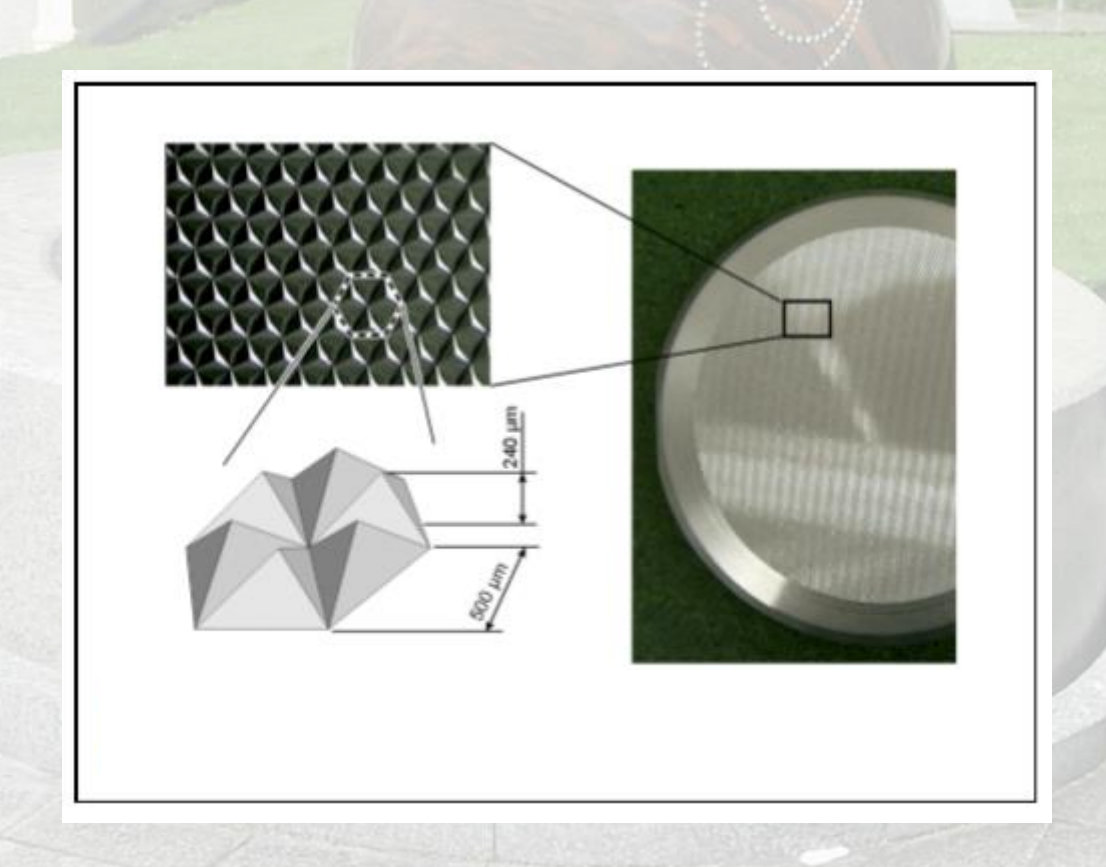


### 1.2 APLICAÇÕES

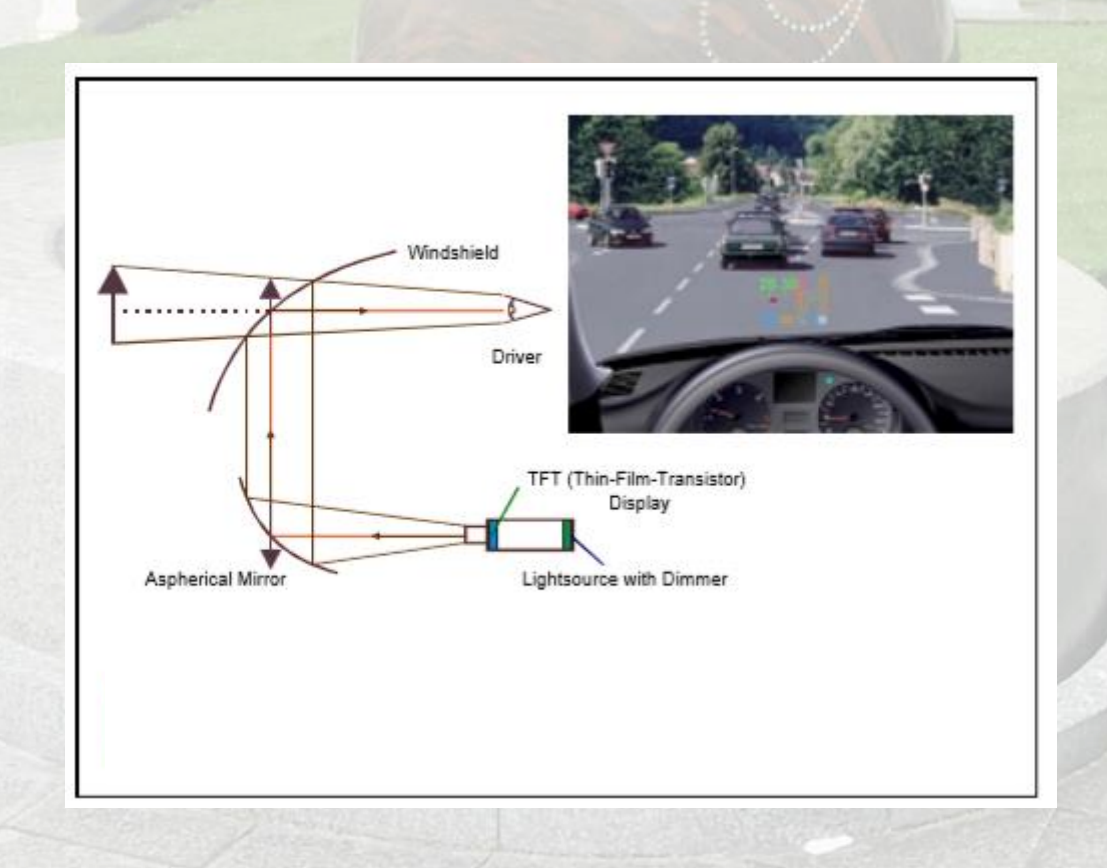
VISIR - VLT Imager and Spectrometer for mid
Infrared



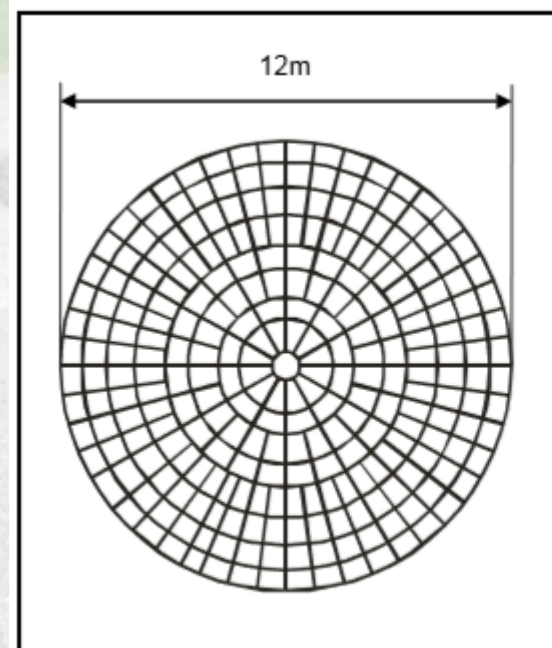
# Molde de alumínio para superfície refletiva com microtetraedros



## Head-up Display Siemens VDO Automotive



### Espelho do telescópio ALMA



#### 8 tiers

264 aluminum panels

- max. diameter: 1m
- weight-relieved structure
- thickness: 2.5mm
- figure error: < 8µm rms

#### machining parameters:

feed / rev.: 0.5mm

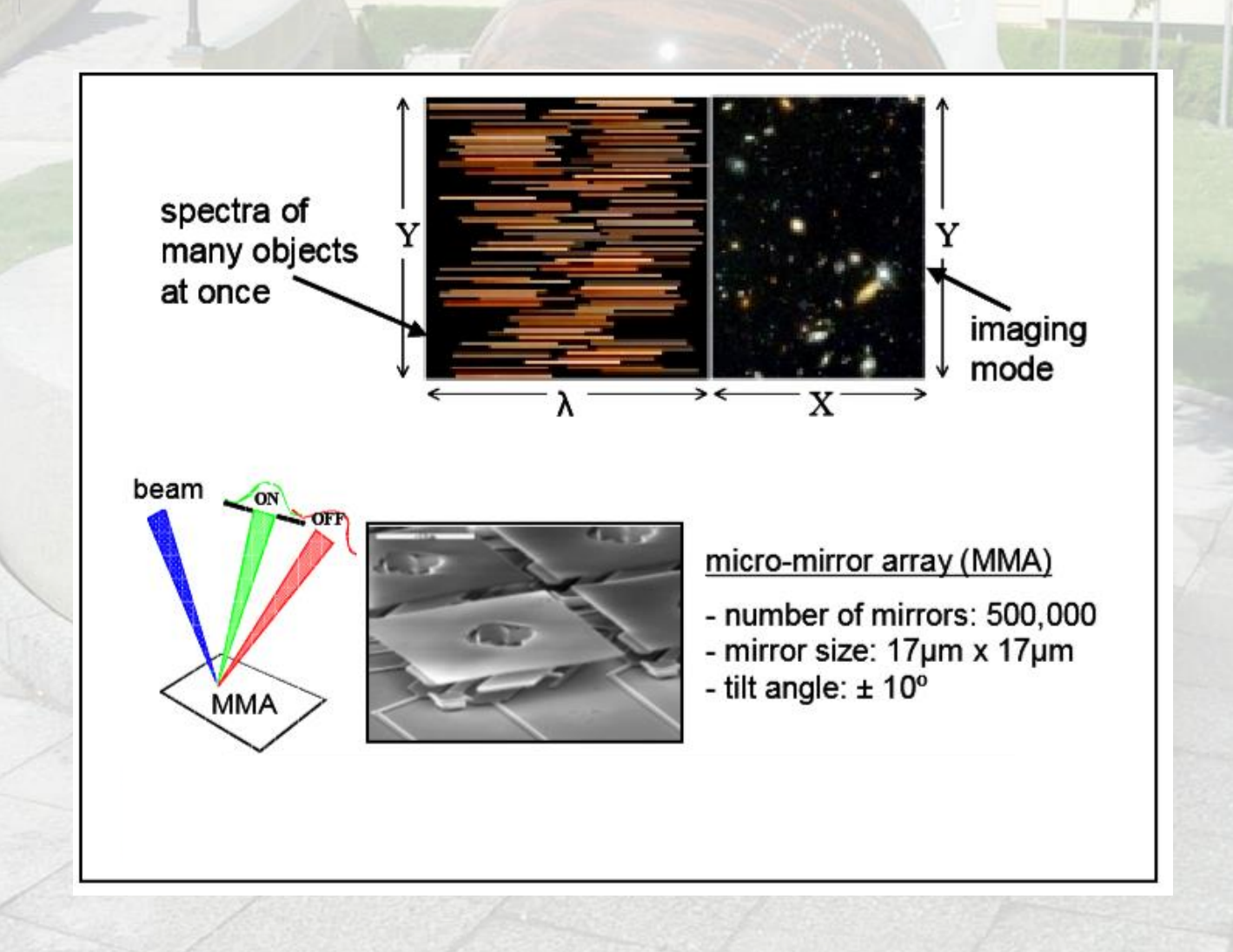
speed of fly-cutter: 3600rpm

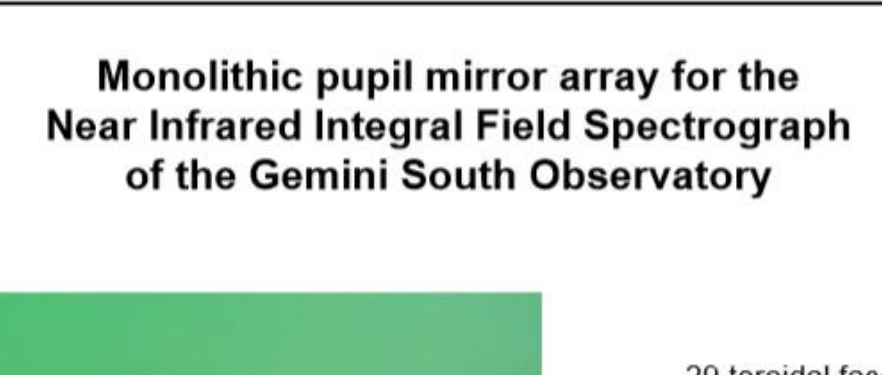
4 polycrystaline half-arc diamond tools

tool nose radius: 12mm

machining time per panel: 4 hours

### Espectrografia Multi-Objeto (MEMS)





#### 29 toroidal facets

size: 2mm x 4.5mm

fly-cut radius: 52.17 mm

swing radius: 53.17 mm

envelope radius: 448 mm

Laboratory for Precision Machining University of Bremen, Germany

## Torneamento com ferramenta de diamante (SPDT) com *Fast Tool Servo* (FTS)

#### Bi-conic mirror for the Infrared Multi-Object Spectrograph of the Next Generation Space Telescope

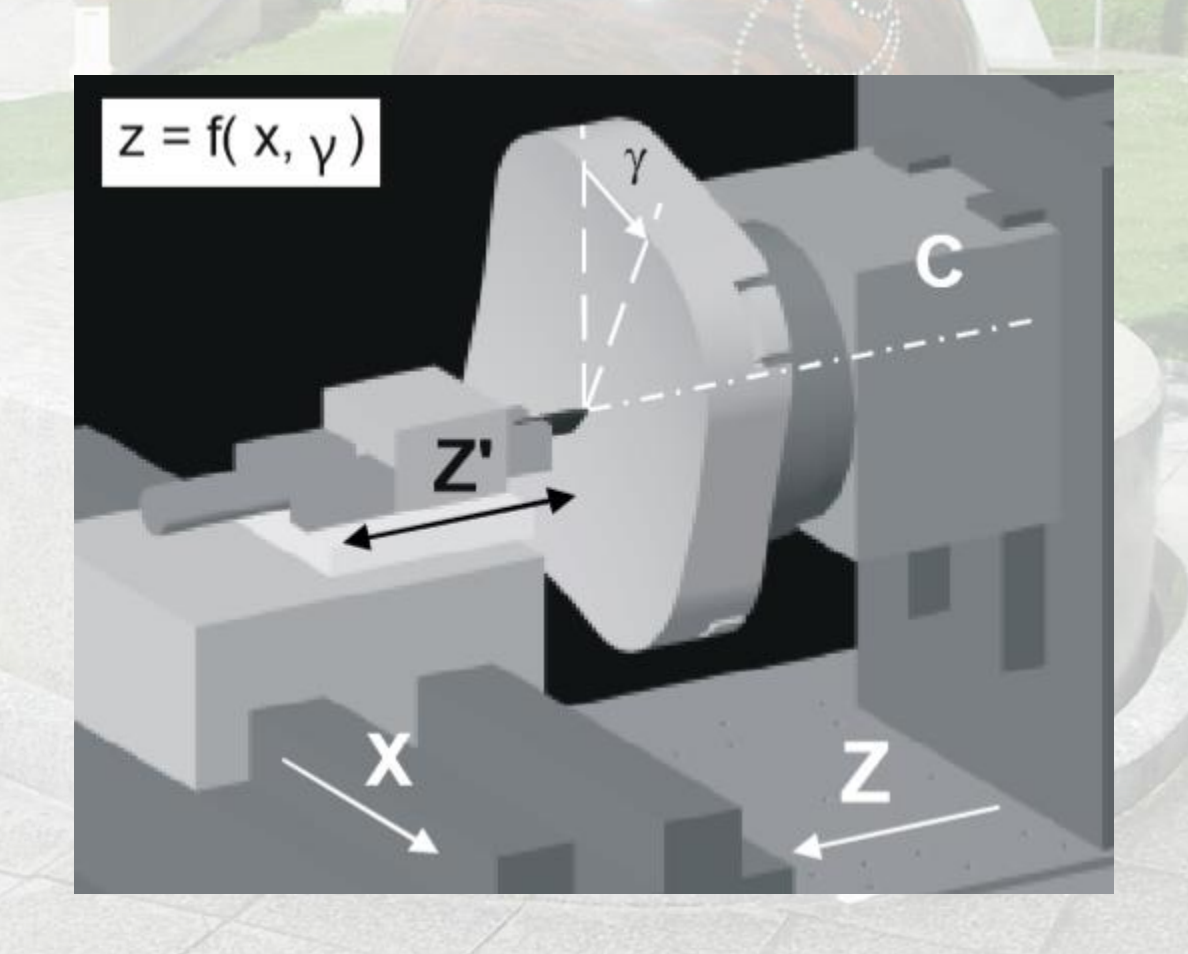


#### Fast Tool Servo:

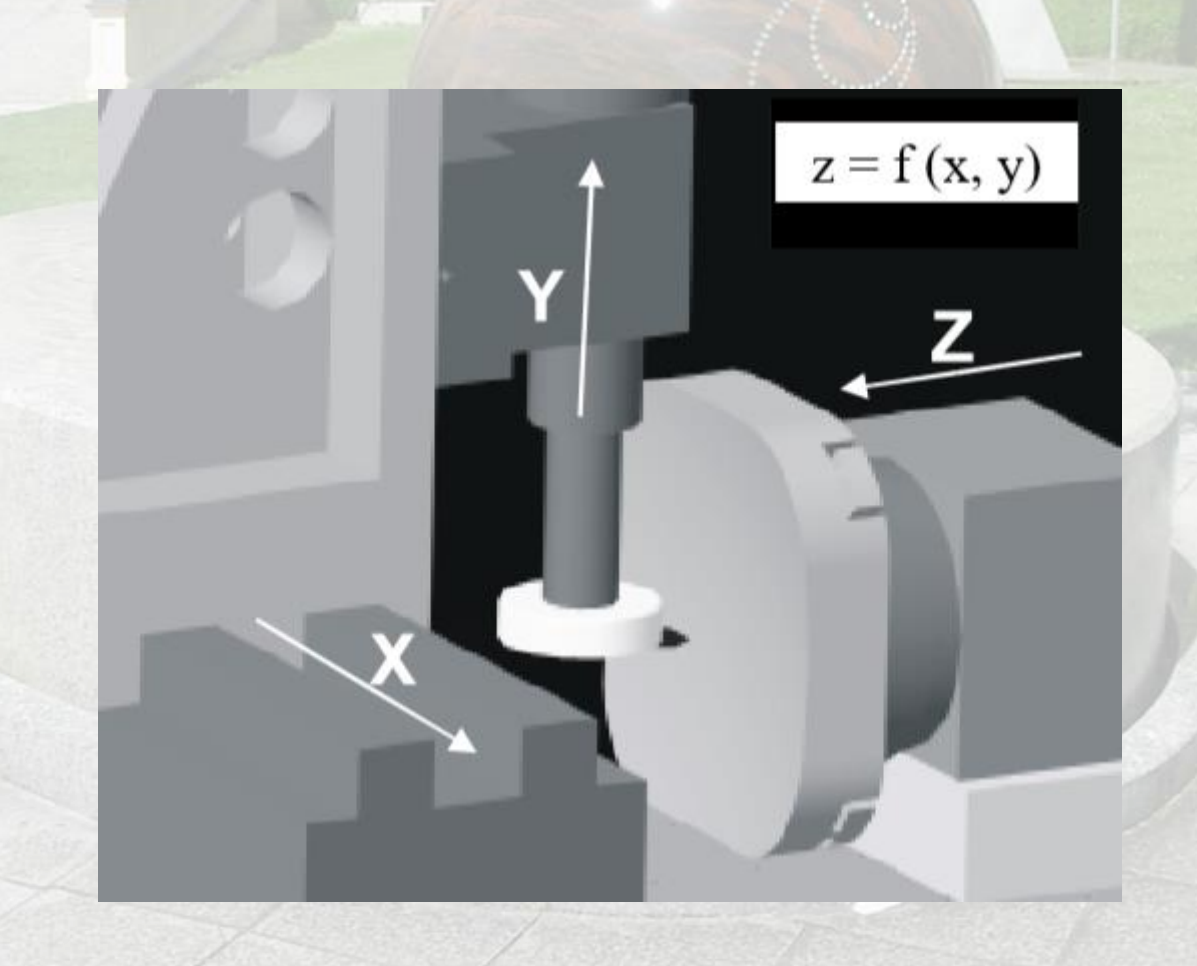
- amplitude: 76 μm - frequency: 2 Hz - velocity: 8 mm/s

Precision Engineering Center North Carolina State University Raleigh, NC

## Cinemática do tormeamento com ferramenta de diamante (SPDT) e *Fast Tool Servo* (FTS)



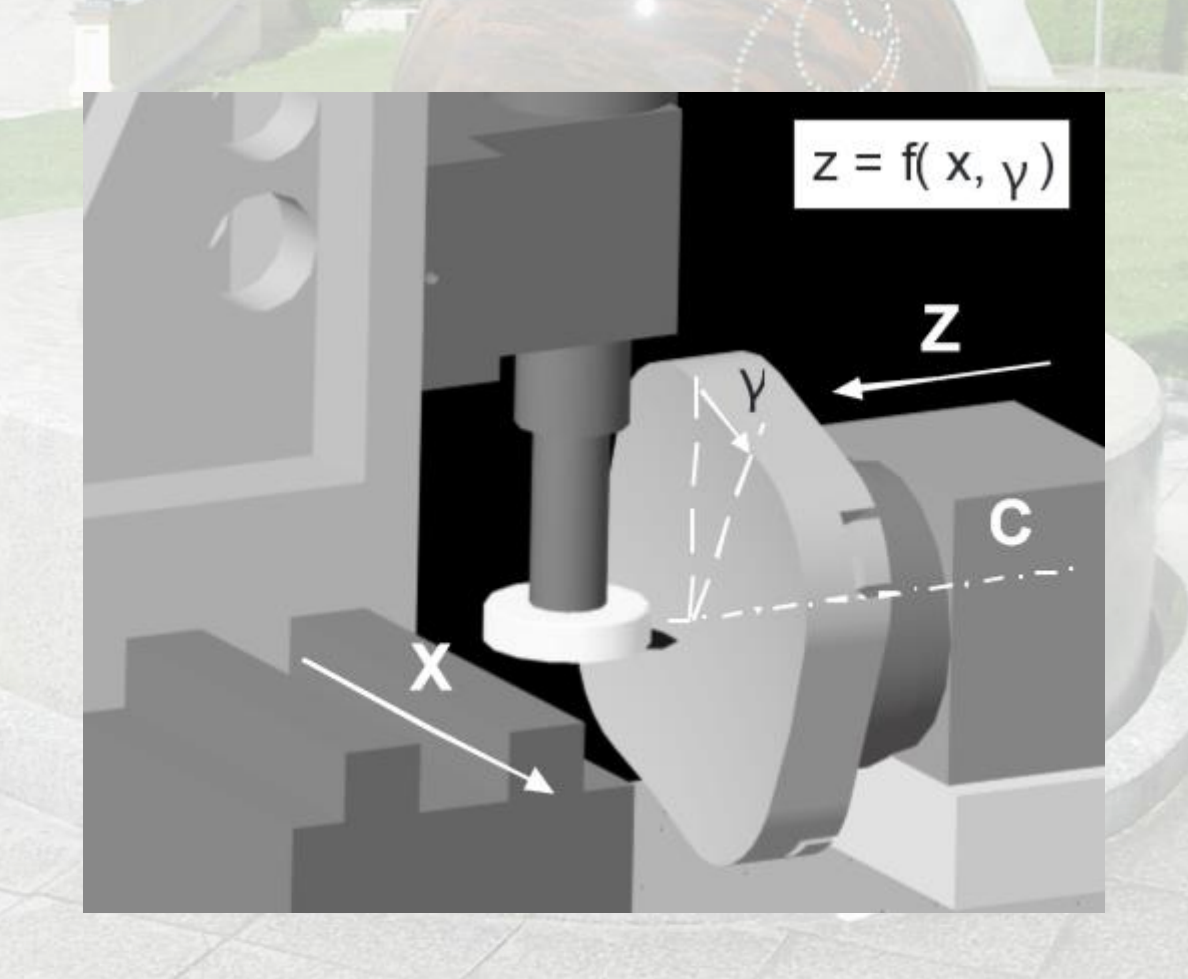
### Cinemática do raster fly-cutting



#### Raster fly-cutting do espelho bi-cônico IRMOS



## Cinemática do fresamento assimétrico de contorno



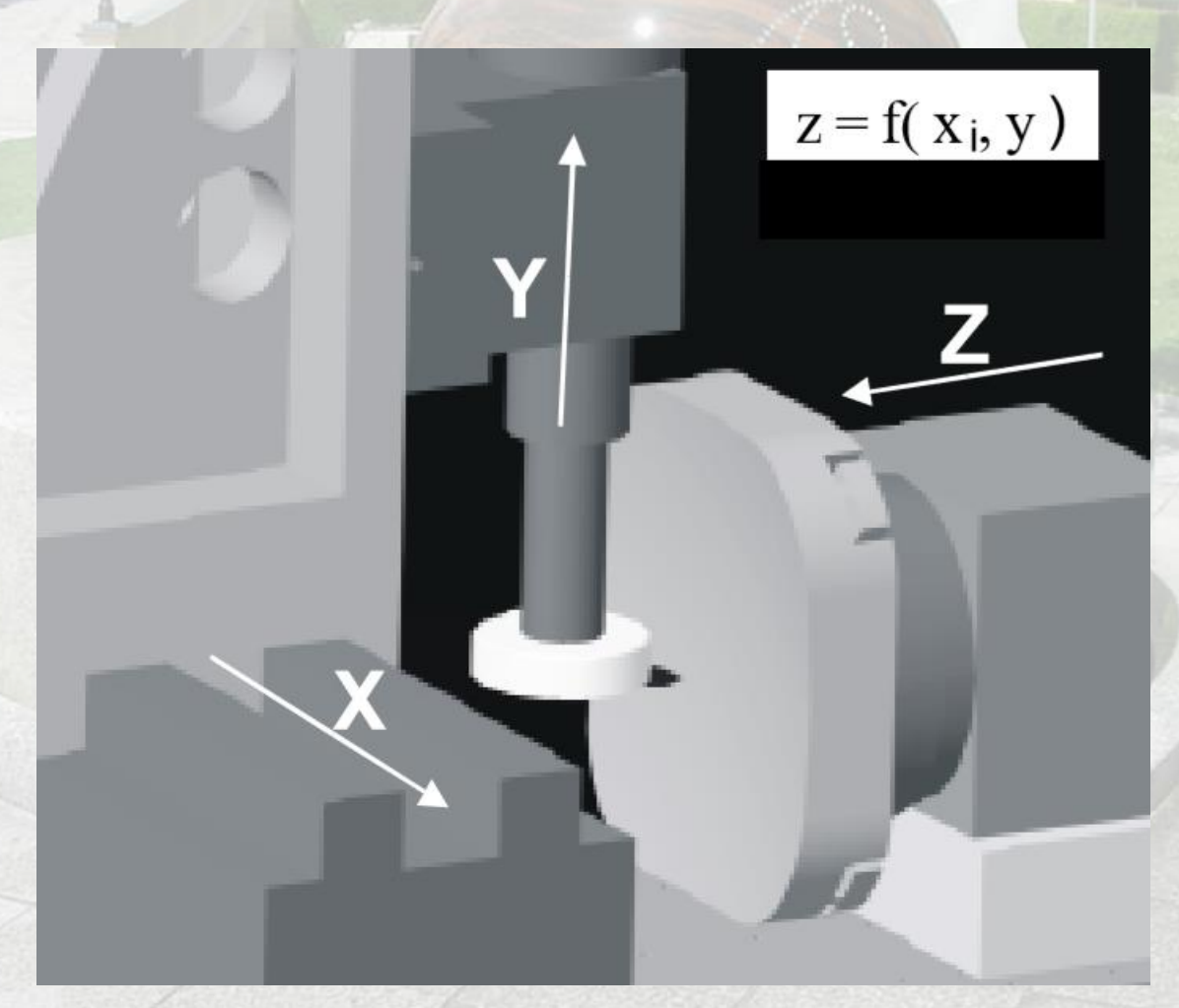
# Fresamento assimétrico de contorno dos painéis do radiotelescópio



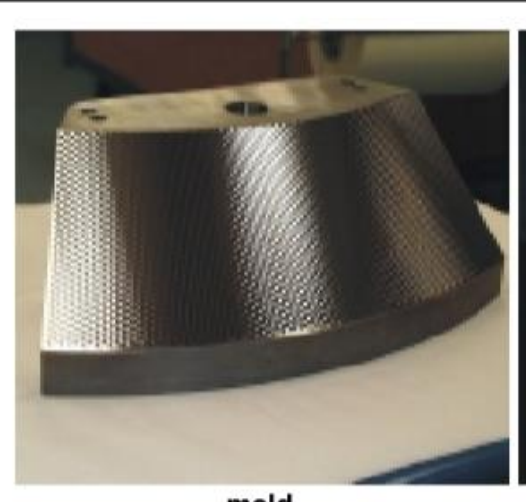


Asymmetric contour milling of radiotelescope panels

# Cinemática do *fly-cutting* de contato linear



## Molde do refletor anular usinado através de mandrilamento de contorno





mold

PMMA replica

Mold:

60° section, steel alloy 1.2083 plated with 150µm electroless nickel

Microstructur:

3000 concave spheres, 4.3mm Ø, 69µm deep

Cutting parameter:

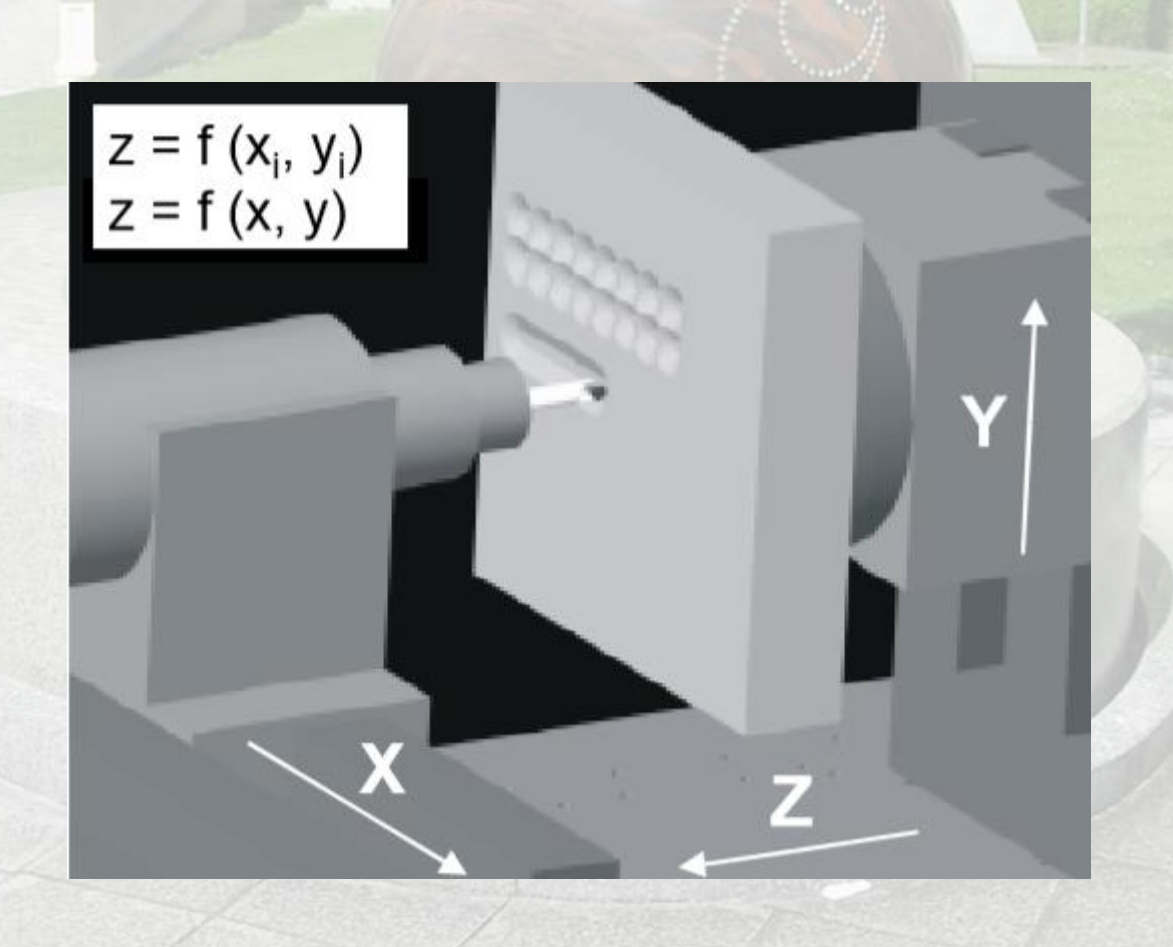
rotational speed n = 400min<sup>-1</sup>, f = 40µm/min

Tool:

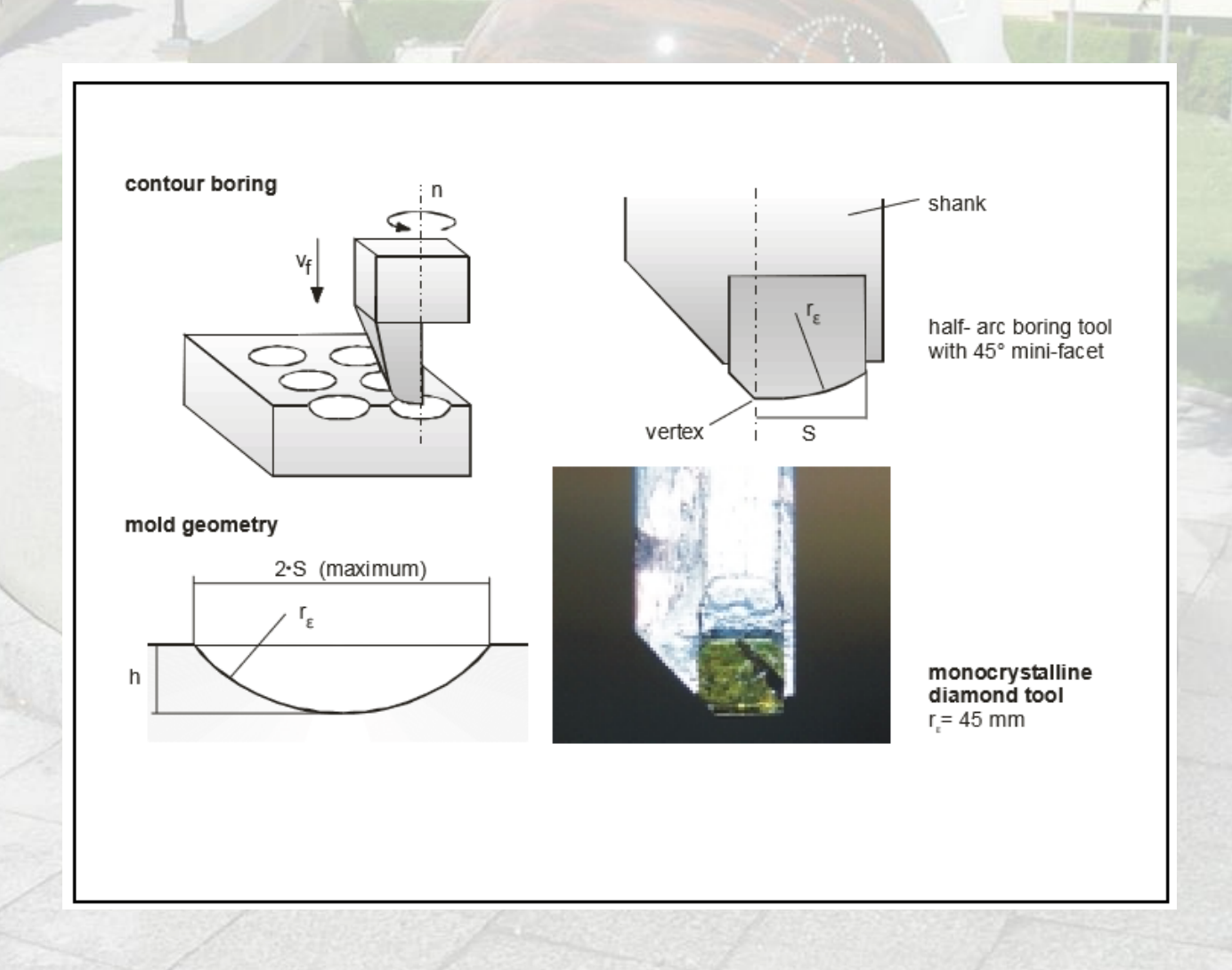
half-arc monocrystalline diamond tool

nose radius r,= 45mm

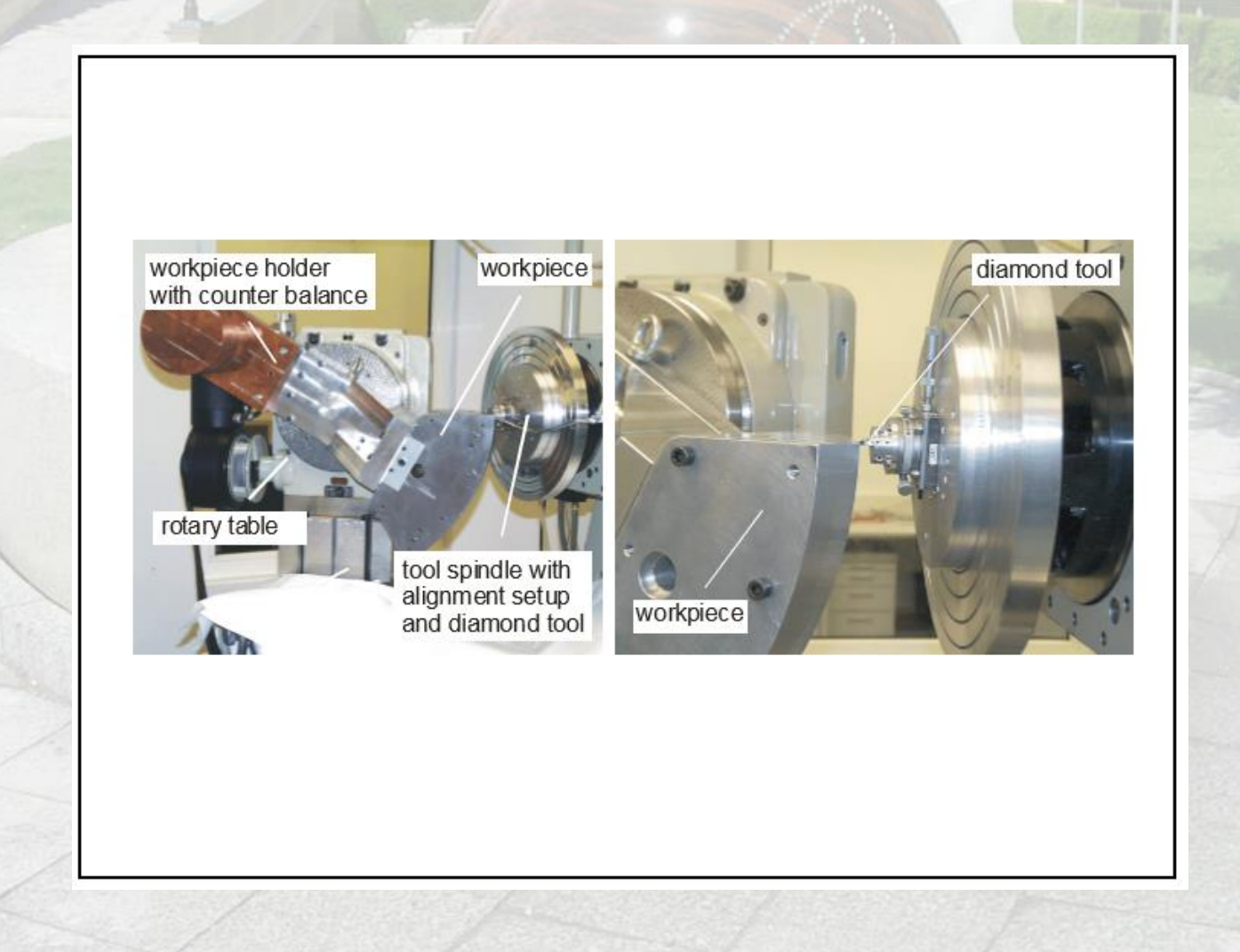
## Cinemática do mandrilamento de contorno



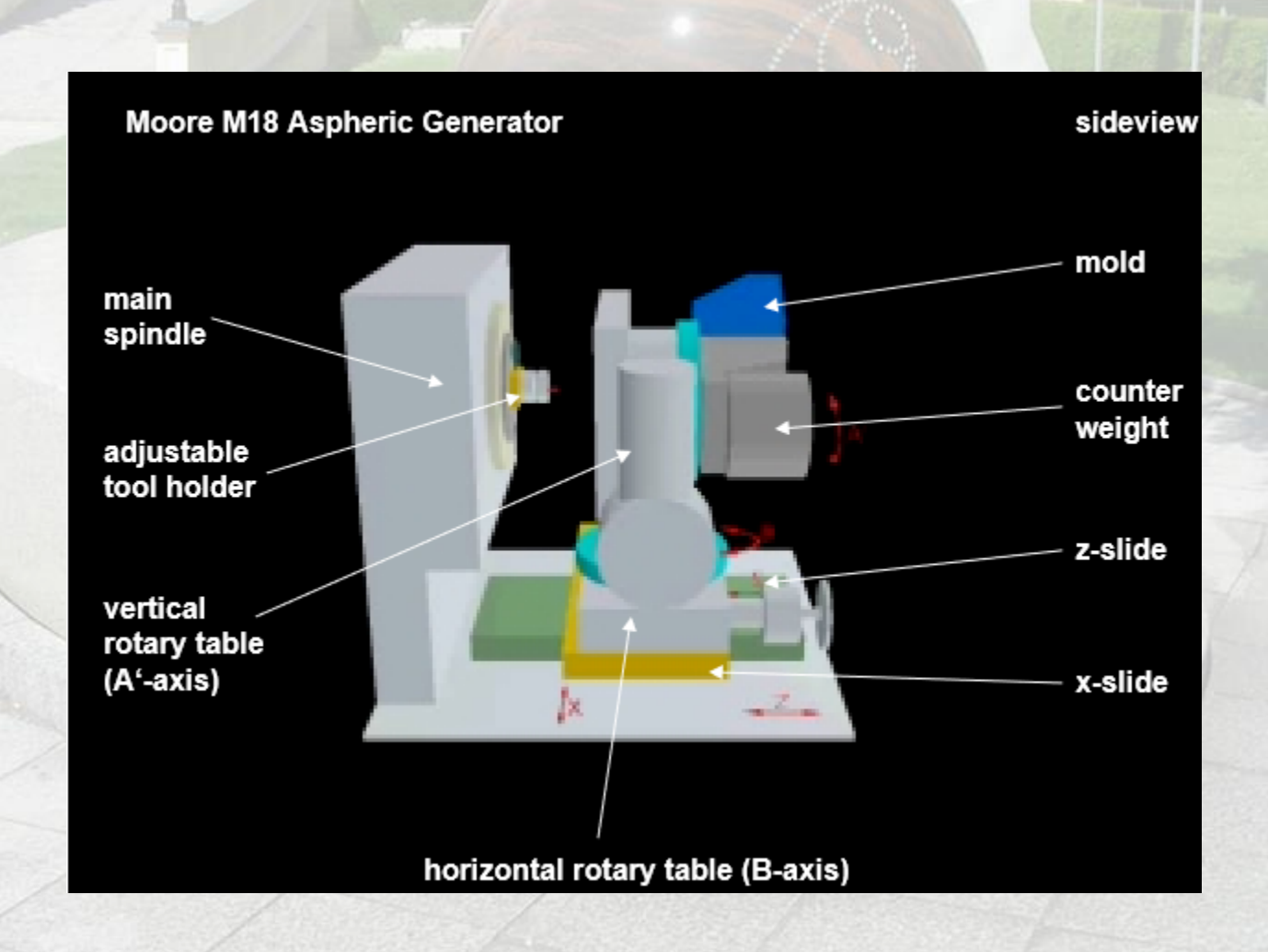
## Mandrilamento de contorno com ferramenta de diamante monocristalino de geometria meio-arco



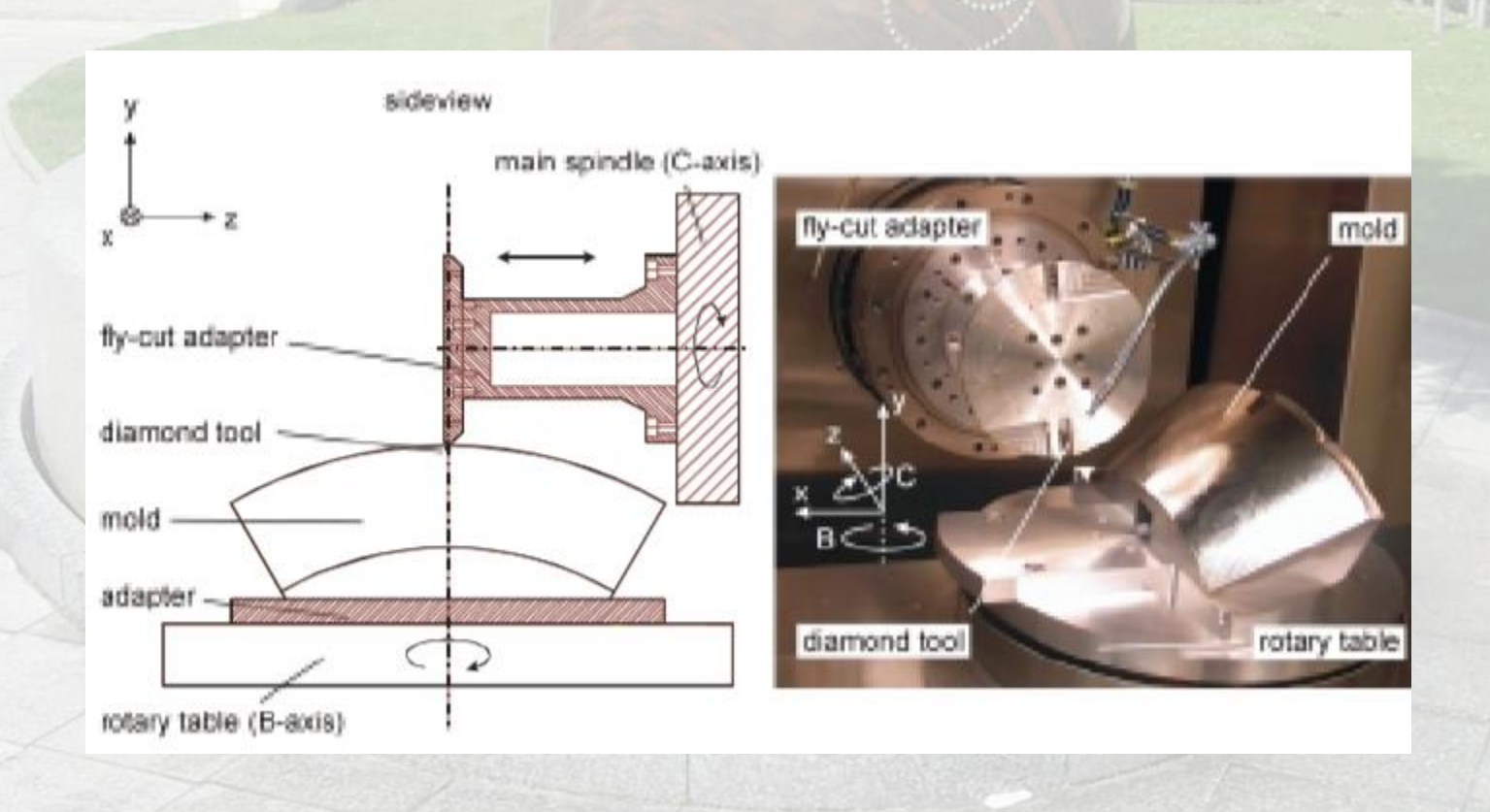
## Mandrilamento de contorno de microestruturas em um molde de Ni-P não eletrolítico



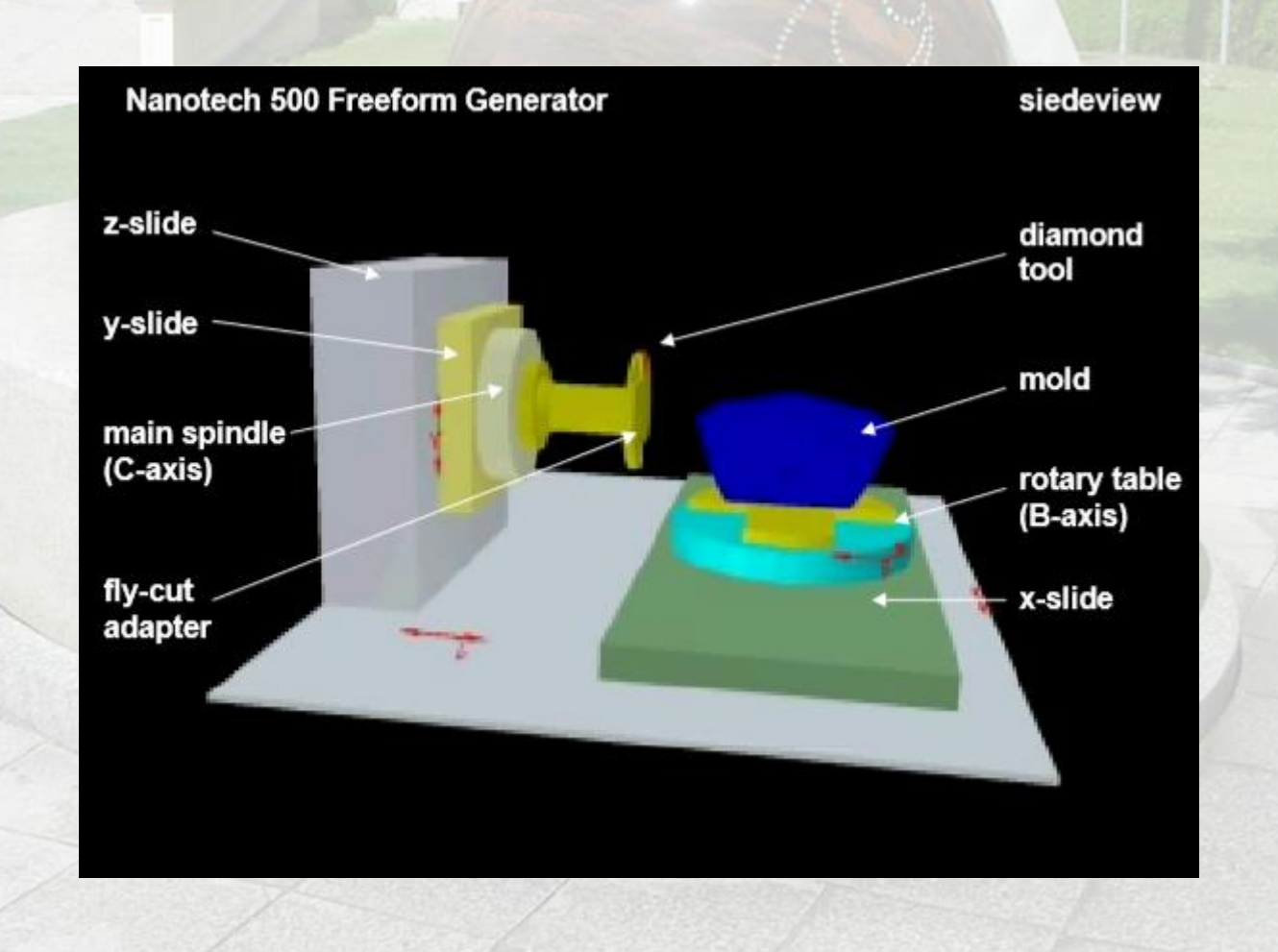
## Mandrilamento de precisão de cavidades esféricas em um molde cônico



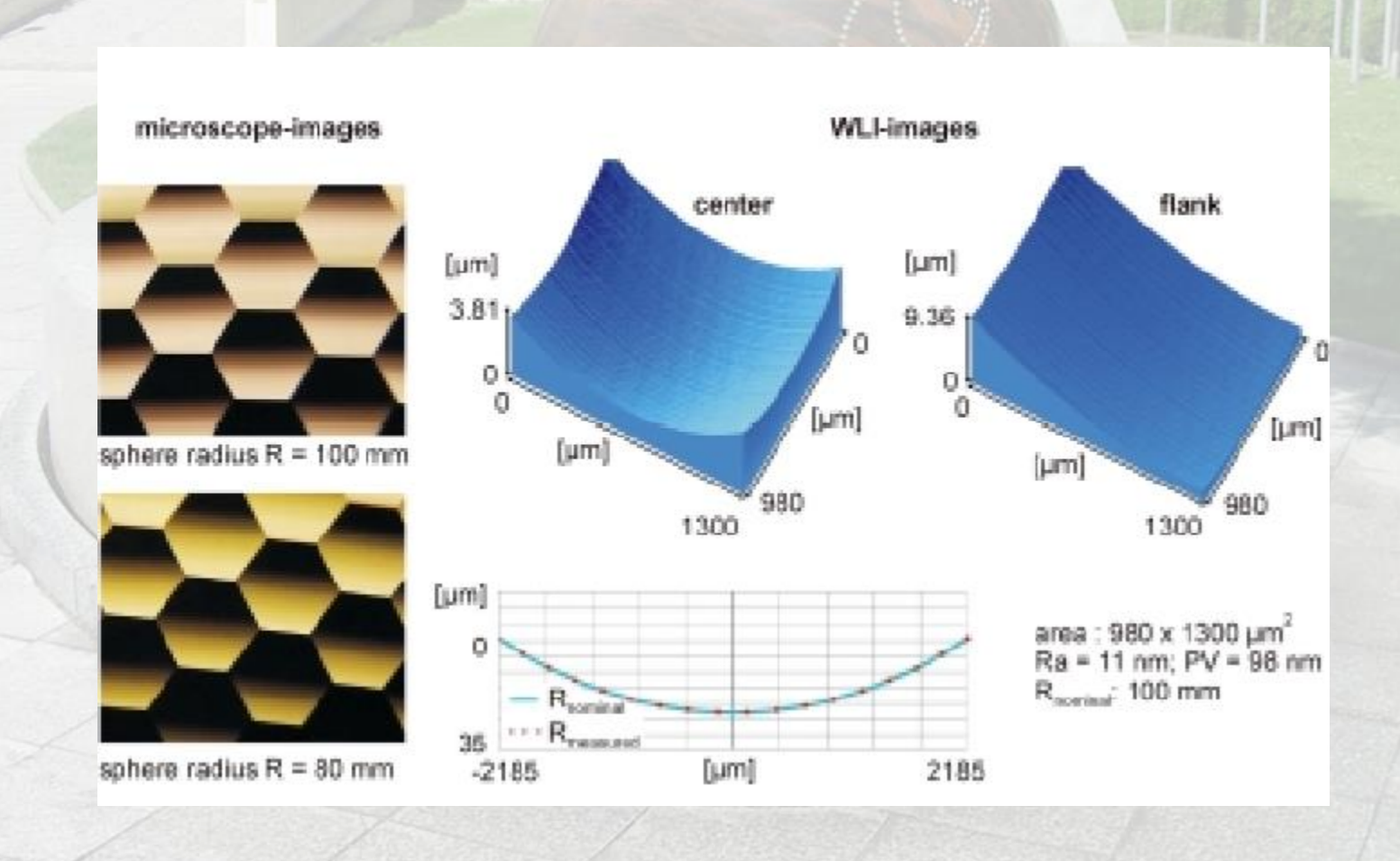
## Raster Milling de cavidades esféricas em um molde cônico de alumínio recoberto com Ni-P não eletrolítico



#### Raster milling de cavidades esféricas em espelho cônico



### Cavidades esféricas obtidas através de Raster milling



## Super Precision Micro Machine FANUC ROB Onano Ui



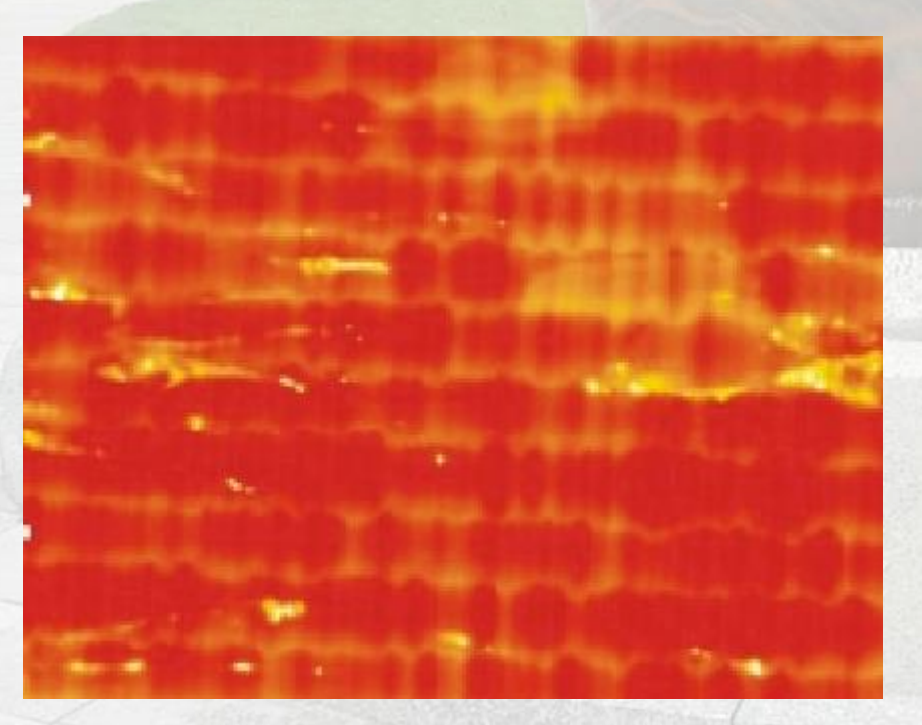


Máscara Noh com Ø 1 mm



Rede de difração com 1 μm de passo

### 1.3 Metrologia



Área 1,23 X 0.98 mm

 $R_a = 7,56 \text{ nm}$ 

 $R_a = 11,87 \text{ nm}$ 

Espaçamento entre linhas: 50 μm

Raio de ponta da ferramenta: 10 mm

Imagem interferométrica de luz branca do espelho bi-côncavo obtido através de fly-cutting.

# Métodos existentes para avaliação de superfícies de forma-livre (free-form)

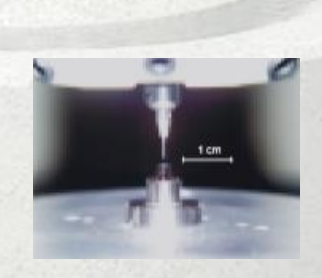
	Vantagens	Desvantagens	
Máquinas de medir 3D de ultra-precisão	Universal	Baixa resolução Lateral. Resolução vertical limitada (~100nm)	
Interferometria com hologramas gerados por computador (CGH)	Alta resolução lateral Boa resolução vertical (~10nm)	Muito caro Alinhamento cuidadoso necessário	



Volume de medição: X 460 mm Y260 mm Z350 mm

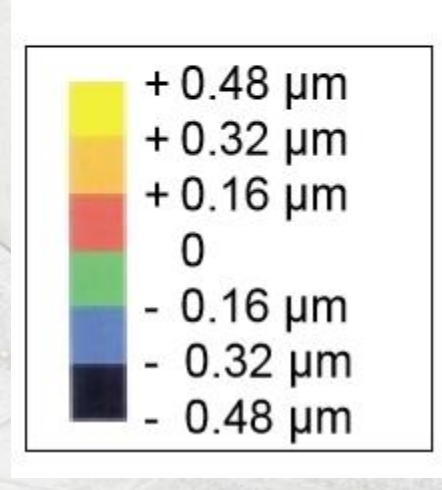
Resolução: 0,01  $\mu$ m Precisão de posicionamento: < 0,1  $\mu$ m Erro volumétrico: < 0,5  $\mu$ m

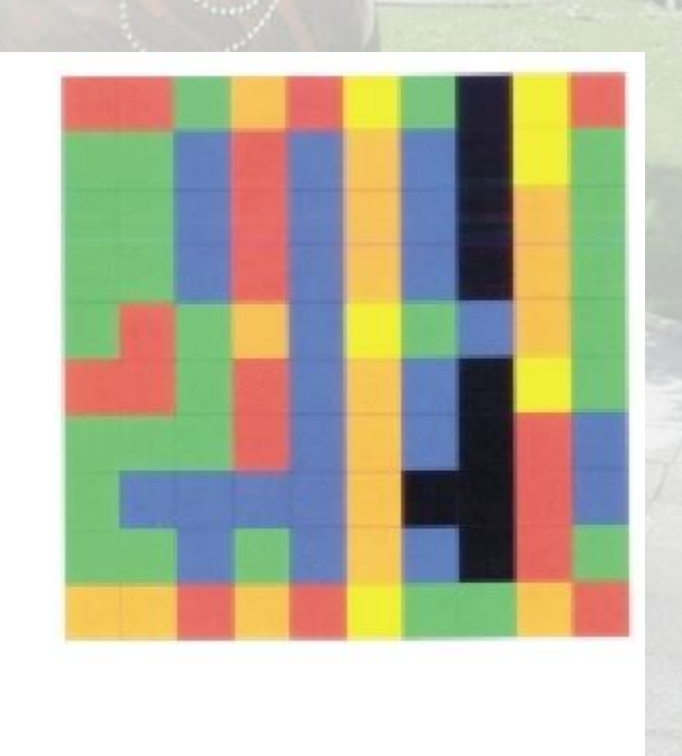




#### Erro de contorno do espelho IRMOS M4 Máquina de medir Universal 3D MOORE

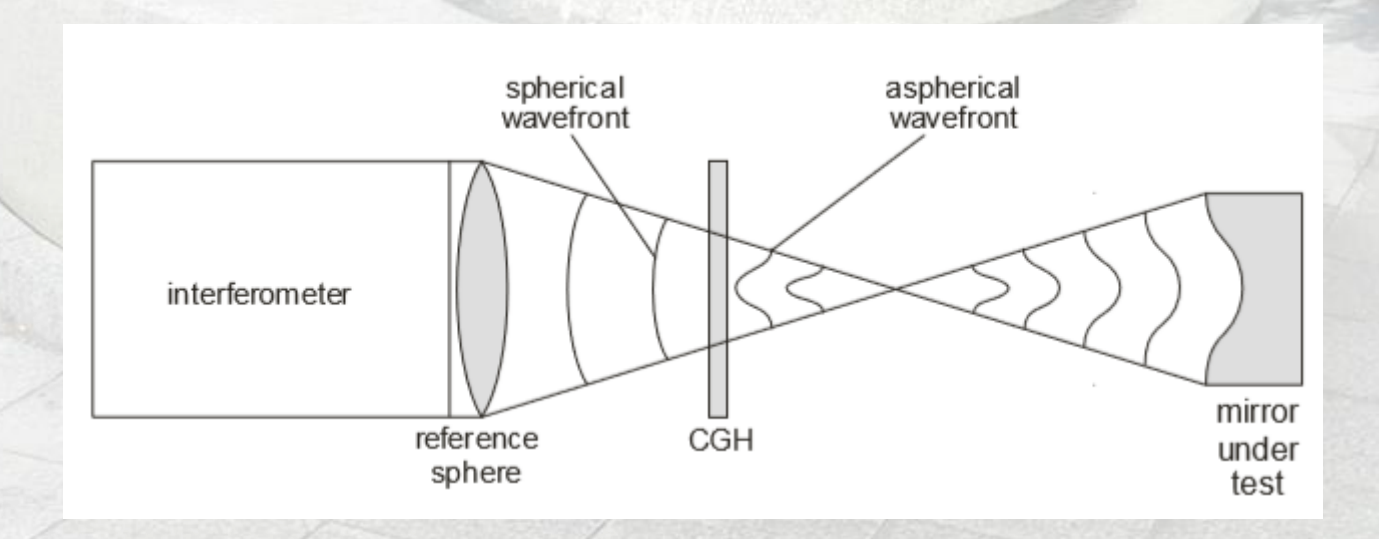
PV= 0.96 μm RMS= 0.22 μm



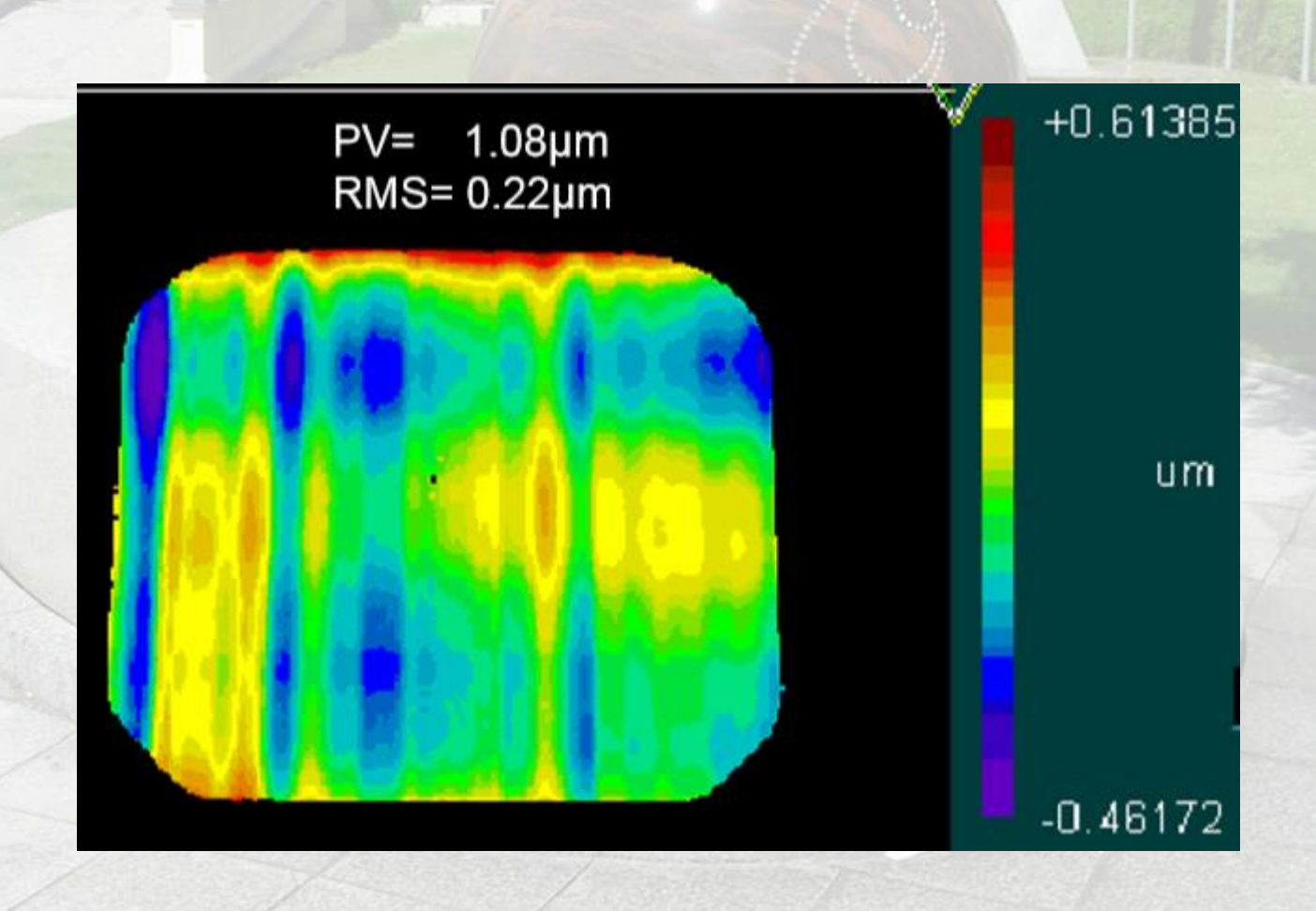


#### **CGH** interferometric null-test

- Hologramas Gerados por Computador (CGH) são elementos ópticos difrativos produzidos por processo de fotolitografia que mudam a frente de onda esférica para uma frente de onda anesférica.
- Superfícies diferentes requerem CGH diferentes
- Custo US\$ 10.000,00 por peça



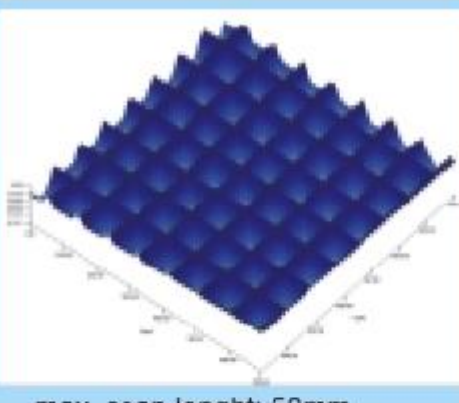
### Erro de contorno do espelho IRMOS M4 medido através de CGH



### Métodos de medida não destrutivos para caracterização de superfícies microestruturadas

	alca lateral	ance vertical	resolu lateral	ução vertical	máxima inclinação aceitável
scanning force microscopy	<100µm	<10µm	1nm	0.1nm	45°
white-light interferometry	<3mm	<0.5mm	1µm	1nm	25°
Perfilometria 3D	<200mm	<1mm	1µm	1nm	45°

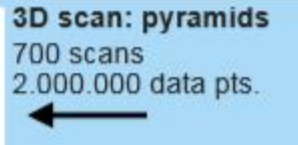
#### Tencor Profiler P15



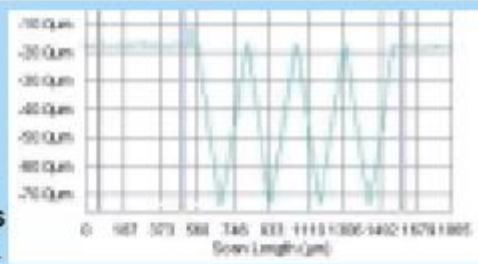
max. scan lenght: 50mm vertical range: 1mm lateral resolution: 1µm vertical resolution: 1nm

stylus tip radius: 2µm

max. slope: 45°

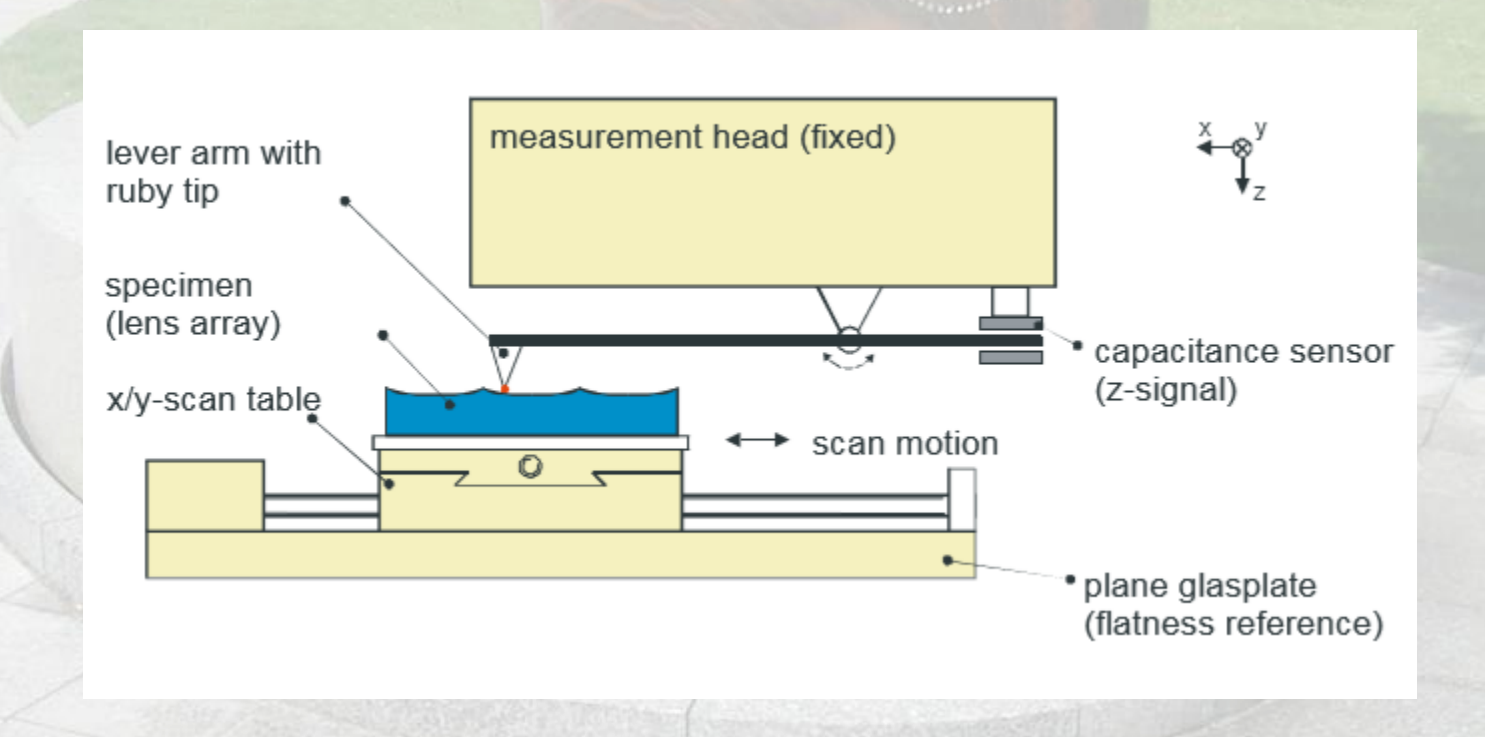


2D scan: V-grooves 100.000 data pts.

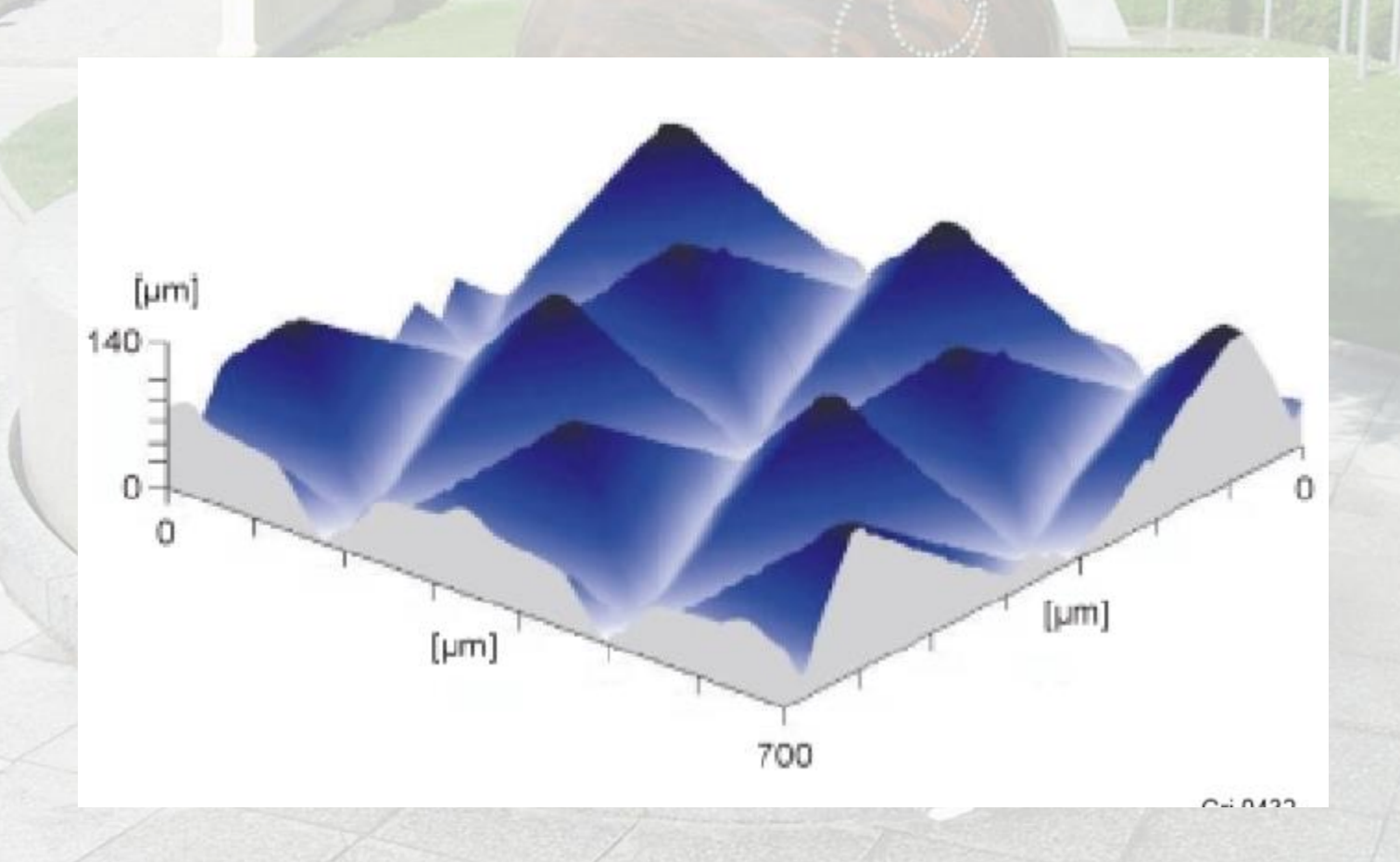




### Tencor Profiler P15 Princípio de medição



### Gráfico 3D de microprismas



## Design for Precision status atual

Tanigushi, 1996

Tendências em usinagem de precisão

